

## بررسی نقش عوامل مکانی بر توزیع-پراکندگی بیشینه های آب قابل بارش جو ایران

دریافت مقاله: ۹۲/۸/۲۷ پذیرش نهایی: ۹۳/۵/۳

صفحات: ۷-۲۴

حسین عساکر<sup>۱</sup>: دانشیار گروه جغرافیای طبیعی گرایش اقلیم شناسی دانشگاه زنجان، ایران

Email: asakereh1@yahoo.com

مهردی دوستکامیان<sup>۱</sup>: دانشجوی دکتری تغییرات آب و هوایی دانشگاه زنجان- ایران

Email:s.mehdi67@gmail.com

### چکیده

تمام بخار آب موجود در ستونی از جو که قابلیت بارش دارد و از سطح زمین تا نقطه پایانی بخار آب در جو ادامه پیدا می کند، آب قابل بارش کلی گویند. این عنصر تحت تاثیر توپوگرافی و همچنین ارتفاع دچار تغییراتی می گردد. هدف از این مطالعه بررسی تأثیر عوامل محلی و مکانی بر توزیع بیشینه های آب قابل بارش ایران می باشد. برای این منظور داده های فشار، رطوبت ویژه ، مولفه مداری و مولفه نصف-النهاری از پایگاه داده NCEP/NCAR وابسته به سازمان اقیانوس شناسی ایالات متحده استخراج و مورد بررسی و تجزیه تحلیل قرار گرفت. روش های مورد استفاده در این مطالعه، ضریب همبستگی و رگرسیون می باشد. سپس به منظور دست یابی بهتری نسبت به آب قابل بارش شبیه تغییرات و روند شبیه تغییرات بیشینه آب قابل بارش محاسبه گردیده است. نتایج حاصل از این مطالعه نشان می دهد که در بین عوامل مکانی، ارتفاع بیشترین تأثیر را در توزیع مکانی بیشینه آب قابل بارش داشته است. برخلاف بسیاری از دانشمندان که بر این عقیده بودند که با افزایش عرض جغرافیا، آب قابل بارش کاهش پیدا می کند، این قاعده در محدوده جو ایران کمتر به چشم می خورد. با این وجود بیشتر شبیه تغییرات آب قابل بارش در بخش های از ارتفاعات زاگرس، غرب و جنوب غرب رخ داده است. نتایج حاصل از تحلیل چرخه ها نشان داد که بیشینه های آب قابل بارش در ایران دارای چرخه های کوتاه مدت ۲ تا ۴ ساله می باشند.

**کلید واژگان:** آب قابل بارش، رطوبت ویژه، شبیه تغییرات، رگرسیون، تحلیل هارمونیک

<sup>۱</sup>- نویسنده مسئول: زنجان- دانشگاه زنجان- گروه جغرافیا

### مقدمه

کشور ایران در محدوده جغرافیایی خشک و نیمهخشک قرار دارد به طوری که میزان بارندگی آن کمتر از یک سوم متوسط بارندگی جهانی می‌باشد (مسعودیان ۱۳۹۰)؛ ازین‌رو مدیریت منابع آب بارندگی برای کشور ما ضروری به نظر می‌رسد. یکی از این ابزارهای مدیریتی شناخت تغییرات رطوبتی که منجر به شناخت تغییرات آب قابل بارش دریک منطقه می‌شود، می‌باشد. محاسبه دقیق آب قابل بارش مستلزم آگاهی دقیق از حجم بخار آب در جو است (شریعت مداری زهرا ۱۳۹۱: ۷۸) حجم مذکور تحت تأثیر عواملی چون غلظت‌جو، دما (آدیامی<sup>۱</sup> و ۲۰۰۹: ۳۶۹)، پوشش ابر (مبادری و همکاران ۱۳۸۶: ۱۰۷ - ۱۲۶)، جهت و سرعت باد(دیا و ترنبرچ<sup>۲</sup>: ۲۰۰۴: ۷۸۵-۷۹۷، سنتنون<sup>۳</sup>: ۱۹۶۸: ۹۵۱ - ۹۳۰) و عوامل محلی (شریعت مداری ۱۳۹۱، ۱۸۰) و از همه مهم‌تر رطوبت (فلاح قالهری ۱۳۹۰) تغییر می‌کند.

رطوبت یکی از مهم‌ترین عوامل موثر بر رخداد بارش می‌باشد؛ آگاهی از میزان رطوبت سالانه، فصلی، ماهانه و توزیع مکانی آن یک نمای کلی از قابلیت‌ها و محدودیت‌های اقلیمی مناطق مختلف را نشان می‌دهد؛ بنابراین تغییراتی که در مقدار و توزیع آن ایجاد می‌شود از مهم‌ترین عامل موثر در ایجاد شرایط مختلف آب و هوایی می‌باشد. تراکم رطوبت جو همواره باگذشت زمان هم در مقیاس مکان و هم در مقیاس زمانی دچار تغییراتی می‌گردد. منشاء رطوبت جو تبخیر از عوامل موجود در سطح زمین (دریاها و اقیانوس‌ها) و تعرق گیاهان می‌باشد؛ به طوری که تراکم آن با افزایش ارتفاع از سطح زمین کاهش می‌یابد؛ تا جایی که بخش اعظمی از رطوبت جو حدود ۹۰ درصد آن در شش کیلومتری ابتدای جو واقع شده است (فلاح قالهری ۱۳۹۰).

میزان نم موجود در جو به دلیل افزایش فاصله از منبع نم و همچنین کاهش دمای هوا با ارتفاع و در نتیجه کاهش ظرفیت پذیرش بخار آب جو، در ارتفاعات جو کاهش می‌یابد. کاهش تدریجی بخار آب با افزایش ارتفاع در عرض‌های جغرافیایی بالاتر محسوس تر از عرض‌های جغرافیایی پایین تر می‌باشد (جوهن و کارالیس<sup>۴</sup>: ۱۹۷۴ - ۷۶۰، پارامیس و کریشانا مورتی<sup>۵</sup>: ۱۹۹۰ - ۶۷۹). همچنین محتوای رطوبتی هر نقطه از جو حاصل تبخیر محلی و جابه‌جایی رطوبتی در راستای افقی و قائم است. از آنجایی که بخار آب جو نسبت به سایر گازها حجم کمی

<sup>1</sup> -Adiyamay

<sup>2</sup> -Dai and Trenberth

<sup>3</sup> - Stanton

<sup>4</sup> -Johan and karalis

<sup>5</sup> - Parameswaran and Krishna Murthy

## بررسی نقش عوامل مکانی بر توزیع - پراکندگی بیشینه های آب قابل بارش ...

۹

از جو را به خود اختصاص داده اما نقش بسیار مهم و کلیدی را در بیلان انرژی، کنترل دما و منبع رطوبت مورد نیاز برای تشکیل ابر و بارندگی مختلف جوی دارد. اندازه‌گیری و کنترل رطوبت موجود در جو در صنایع الکترونیک و شاخه‌های مختلف علوم فیزیک، شیمی، زیست‌شناسی، کشاورزی و سایر علوم دیگر کاربرد زیادی دارد؛ بنابراین بررسی رطوبت موجود در جو می‌تواند در کنار بررسی تغییرات سایر عوامل اقلیمی در شناخت بهتر تغییرات اقلیم موجود می‌باشد.

ایران با قرار گرفتن بر روی فلات ایران یکی از سرزمین‌های بسیار ناهموار در قیاس با کشورهای منطقه به حساب می‌آید. با اینکه بسیاری از کشورهای حاشیه جنوبی خلیج‌فارس فاقد هرگونه توپوگرافی قابل ملاحظه‌ای می‌باشند ولی ایران با قرار گرفتن در حاشیه شمالی خلیج‌فارس دارای پستی و بلندی‌ها با رشته کوه‌ها و قلل مرفوع فراوانی است که از آن جمله می‌توان به قله دماوند، سبلان، زردکوه، بینالود و غیره اشاره کرد. وجود این ناهمواری‌ها و بخصوص رشته کوه‌های البرز و زاگرس اولًا باعث تغییرپذیری شدید آب و هوا در دو طرف رشته کوه‌ها شده و ثانیاً به سبب وجود مناطق مرتفع فراوان بر روی این رشته کوه‌ها استفاده از مدل‌های مختلف برای محاسبه متغیرهای مختلف اقلیمی و از جمله تابش، دما و بارش همیشه با خطأ مواجه است. ناهموارهای ایران یکی از عامل‌های اصلی در توزیع ناهمگون آب قابل بارش در جو ایران می‌باشد. این گونه ناهمواری‌ها و نیز جهت‌گیری آنها باعث تنوع شدید آب و هوا می‌شود. ناهمواری‌ها تأثیر به سزایی در پراکندگی و توزیع بارش در ایران دارد. برای مثال در این زمینه می‌توان به تأثیر ناهمواری‌ای زاگرس در توزیع پراکندگی بارش اشاره کرد بهطوری که به عقیده بسیاری از محققین عامل اصلی بعضی از بیابان‌های ایران همین ناهمواری‌ها می‌باشد که باعث ایجاد بیابان‌های بادپناه شده است. از این‌رو هدف از این مطالعه بررسی تأثیر عوامل مکانی بر توزیع آب قابل بارش جو ایران‌زمین می‌باشد.

### روش‌شناسی تحقیق

به منظور محاسبه آب قابل بارش، داده‌های فشار و رطوبت ویژه طی دوره ۱۳۹۰-۱۳۴۰ محدوده ایران‌زمین (از ۲۵ تا ۴۰ درجه شمالی و از ۴۲/۵ تا ۶۵ درجه شرقی) استخراج گردیده است سپس با استفاده از امکانات برنامه‌نویسی در محیط نرم‌افزار GRADS، انتگرال وزنی رطوبت در راستای عمودی بین ترازهای ۱۰۰۰ تا ۲۷۵ هکتومتر مکعب محاسبه شد. بدین ترتیب و براساس قابلیت نرم افزار مذکور آب قابل بارش به کیلوگرم در مترمربع (میلی متر) بین سطح

زمین و تروپوپاوز بدست می‌آمد. در ابتدا به منظور محاسبه آب قابل بارش<sup>۱</sup> از رابطه زیر استفاده شده است:

$$pw = \frac{1}{g} \int_{100}^{275} x \cdot dp \quad (1)$$

در این فرمول  $g$  شتاب جاذبه زمین،  $x$  متغیر مورد نظر (در اینجا نم ویژه می‌باشد) و  $dp$  فشار می‌باشد. برای انجام محاسبات از امکانات برنامه‌نویسی در محیط نرم‌افزار Grads و نرم‌افزار Matlab<sup>۲</sup> و نیز برای انجام عملیات ترسیمی از نرم‌افزار Surfer بهره گرفته شد. بعد از اینکه آب قابل بارش روزانه استخراج گردیده است. سپس بیشینه آب قابل بارش برای هر هرماه در هر سال استخراج گردیده که در مجموع ماتریسی به ابعاد ( $720 \times 70$ ) برای ۶۰ سال تشکیل شده است و به عنوان پایگاه داده مورد بررسی قرار گرفت. یکی از روش‌های آماری برای شناخت روابط بین متغیرها روش محاسبه ضریب همبستگی می‌باشد. در تحقیق حاضر به منظور بررسی دقیق‌تر تأثیر عوامل مکانی شامل طول جغرافیایی، عرض جغرافیایی و ارتفاع و تشخیص موثرترین عامل روی آب قابل بارش منطقه از تکنیک همبستگی<sup>۲</sup> و رگرسیون بهره گرفته شده است. این روش شاخص دقیقی است که با محاسبه آن می‌توان وجود رابطه یک متغیر با متغیرهای دیگر را نشان داد. تحلیل رگرسیون، تکنیک آماری برای تحلیل و به مدل درآوردن ارتباط بین متغیرهای است (آذر و مومنی ۱۳۸۷: ۱۴۵). مفاهیم اولیه مدل رگرسیونی وسیله‌ای جهت تشریح دو مفهوم اساسی تغییرپذیری متغیر وابسته ( $y$ ) در اثر تغییر متغیر مستقل ( $X$ ) بکار می‌رود (آدیاما ۲۰۰۹: ۳۶۹-۳۸۰). سپس به منظور بررسی شب تغییرات بیشینه‌های آب قابل بارش جو ایران ابتدا فاصله مداری و نصف‌النهاری هریک از ایستگاه‌ها محاسبه گردیده است. سپس برای محاسبه شب تغییرات بیشینه آب قابل بارش از رابطه زیر استفاده شده است:

$$-\nabla F = \frac{\partial pw}{dx} i + \frac{\partial pw}{dy} j \quad (2)$$

در فرمول بالا  $dx$  فاصله طولی دو یاخته (پیکسل) در امتداد مدارات،  $dy$  فاصله عرضی دو یاخته در امتداد نصف‌النهارات و  $pw$  تغییرات شب بیشینه آب قابل بارش دو یاخته می‌باشد. در ادامه به منظور بررسی چرخه‌های بیشینه آب قابل بارش از تحلیل طیفی بهره گرفته شده است. روش تحلیل همسازها، روشی بسیار کارا و مفید برای توصیف شاخص‌های نهان و الگوهای

<sup>۱</sup>-Perceptible Water

<sup>۲</sup>-correlation

## بررسی نقش عوامل مکانی بر توزیع - پراکندگی بیشینه های آب قابل بارش ... ۱۱

بارش سالانه (عساکره و همکاران ۱۳۹۴: ۴۳۵-۴۴۴) به شمار می‌آید. از اهداف تحلیل همسازها، تعیین پارامترهای مشخص کننده واریانس بسامد هاست.

### بحث و بررسی

در جدول ۱ بعضی از مشخصات مکانی بیشنه آب قابل بارش نشان داده شده است. میانگین بیشینه های آب قابل بارش در ایران ۲۲/۸۳ میلیمتر می‌باشد. همان طوری که مشاهده می‌شود مد با میانه و میانگین اختلاف دارد. این بیانگر این است که توزیع و پراکندگی بیشنه های آب قابل بارش از توزیع ناهمگنی برخوردار است. به طوری که ضریب تغییرات مکانی بالا بیانگر همین نکته می‌باشد. بیشترین بیشنه آب قابل بارش ۷۲/۶۶ میلیمتر می‌باشد. البته به نظر می‌رسد وقوع این مقادیر حداکثری به صورت اتفاقی بوده باشد. زیرا چنانچه وقوع آن‌ها مکرر باشد در میانگین این دوره تاثیر می‌گذشت. چولگی و کشیدگی بیشنه های آب قابل بارش در محدوده ایران مثبت می‌باشد؛ چولگی مثبت بیانگر این است که بیشینه مساحت های کمتر از میانگین بیشتر می‌باشد.

جدول(۱) مشخصات مکانی بیشنه های آب قابل بارش ایران

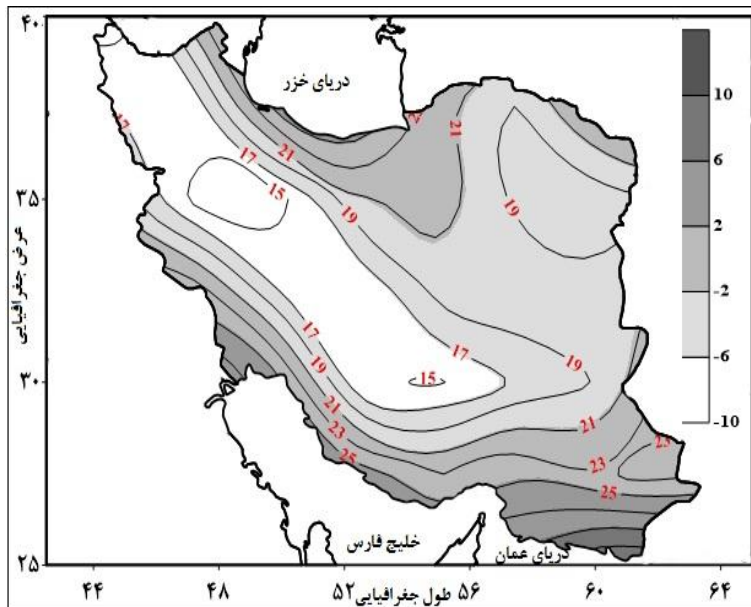
ج	ج	ج	ج	میانه	بیشنه	کشیدگی	چولگی	نماینده تغییرات	ضریب تغییرات	ضریب معتبر	واریانس	٪	٪	٪
۷۱/۲	۲۱/۲	۷۶/۱	۳۵	۲۱/۲	۴۸	۴	۲	۶۹/۶	۲۱/۶	۷۶/۴	۵۴/۵	۱۸/۵۲	۲۳/۲	۲۱/۸

شکل ۱ نقشه میانگین و بیشینه های آنومالی آب قابل بارش سالانه جو ایران را نشان می‌دهد. همان طوری که مشاهده می‌شود بیشینه ناهنجاری های منفی آب قابل بارش در ارتفاعات به خصوص نواحی زاگرس مشاهده شد به طوری که این ناهنجاری ها در این مناطق تا به ۱۰ میلیمتر هم می‌رسد (شکل ۱ و ۲). این در حالی می‌باشد که ناهنجاری های مثبت بیشنه های آب قابل بارش بر کرانه های ساحلی دریای خزر و حاشیه خلیج فارس منطبق می‌باشد. این واقعیت به دلیل تأثیرپذیر این نواحی از منبع عظیم رطوبت می‌باشد. بنابراین می‌توان گفت که در این مناطق میزان ناهنجاری های مثبت نسبت به میانگین کل در همان نقطه به مثبت ۱۰ میلیمتر هم می‌رسد. میانگین بیشینه های آب قابل بارش نواحی مرکزی ایران با وجود خشکی و دوری از منابع رطوبتی از ناحیه مرتفع زاگرس بیشتر می‌باشد. این واقعیت به دلیل دمای

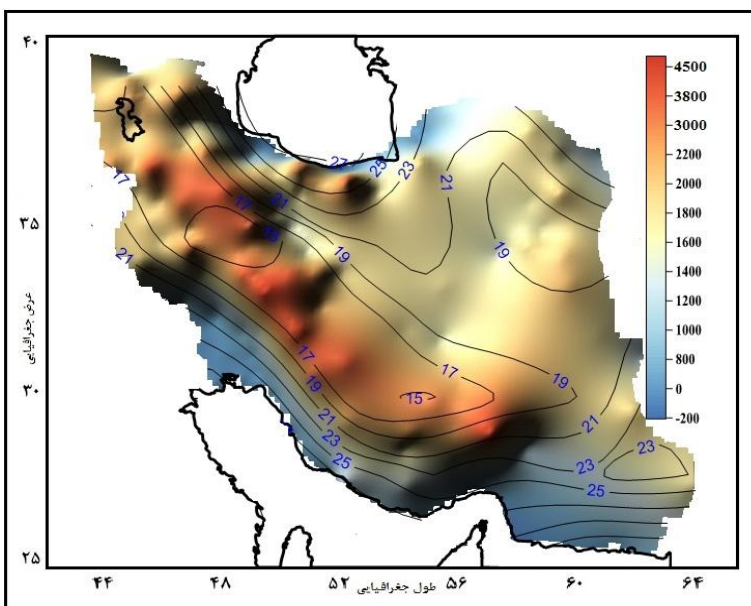
افزون تر نواحی مرکزی است که به تبع آن ظرفیت بخار آب جو افزایش می‌یابد؛ اما در منطقه زاگرس به دلیل پایین بودن دما در نتیجه ظرفیت یا درجه اشباع هوا زیاد و دمای شبنم بسیار پایین تر از نواحی مرکزی می‌باشد. بنابراین در توزیع آب قابل بارش در ایران نقش عوامل مکانی به وضوح قابل مشاهده می‌باشد.

باهدف شناخت رفتار مکانی و نظم رخداد بیشینه های آب قابل بارش کشور مرکز میانگین یا گرانیگاه آب قابل بارش ترسیم شده است که نتایج آن در شکل ۱ آورده شده است. با نگاه به شکل با افزایش آب قابل بارش در سواحل شمالی و جنوبی کشور گرانیگاه یا مرکز میانگین آب قابل بارش به سمت مرکز کشور تمایل پیدا کرده است هرچند که توزیع پراکندگی آنها به سمت جنوب تمایل پیدا کرده که بیانگر وزن بیشتر آب قابل بارش مناطق ساحلی جنوب نسبت به سواحل شمالی می‌باشد. همان طوری که مشاهده می‌شود این مرکز ثقل ها در بعضی موارد پراکندگی های داشته است که برای هر جهت به عنوان نمونه نقشه بیشنه آب قابل بارش همان مرکز ثقل ترسیم شده است. برای مثال در نقشه ۱ بیشینه های آب قابل بارش در این موقع بر نواحی شمال غرب منطبق می‌باشد این واقعیت می‌تواند به دلیل تاثیر توده های رطوبتی مختلفی باشد. این در حالی می‌باشد که برای نقشه دوم که برای جهت جنوبی ترسیم شده است تمرکز خطوط در نواحی جنوب کشور بیشتر می‌باشد.

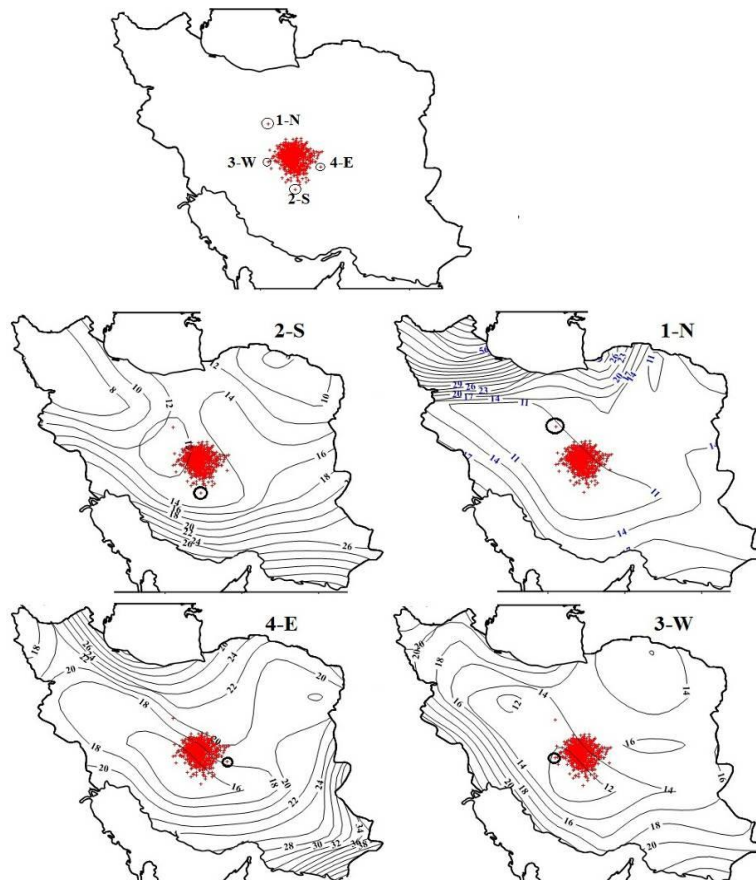
همان طوری که مشاهده شد آب قابل بارش به شدت تحت تأثیر عوامل اقلیمی بهویژه ارتفاعات قرار داشت. به طوری که عوامل محلی در توزیع پراکندگی آب قابل بارش در پهنه اقلیمی ایران تأثیر به سزاوی داشته است. هرچند که بنا به گفته مسعودیان (مسعودیان و همکاران ۱۳۹۱: ۱۲۵) رابطه یکتاوی بین بارش و ارتفاع وجود ندارد؛ برای مثال روی دامنه های بادگیر زاگرس با افزایش ارتفاع بارش نیز افزایش می‌یابد اما از کرانه های خزر تا بخش بزرگی از دامنه های شمالی البرز با افزایش ارتفاع، بارش کاهش می‌یابد؛ این تضاد نشان می‌دهد که اساساً الگوی خطوط بارش بیشتر تابع آرایش ناهمواری است تا ارتفاع. بدین منظور رابطه آب قابل بارش با عوامل مکانی بهخصوص ارتفاع، طول جغرافیایی و عرض جغرافیایی محاسبه شد که نتایج حاصل از آن به صور ساعتی و ماهانه در جدول (۲ و ۳) آورده شده است.



شکل(۱) توزیع مکانی میانگین و آنومالی بیشینه آب قابل بارش سالانه ایران



شکل(۲) توزیع مکانی ارتفاع و بیشینه آب قابل بارش سالانه ایران



شکل(۳) گرانیگاه بیشنه های آب قابل بارش جو ایران

در بین عوامل مکانی آب قابل بارش تنها با ارتفاع رابطه معنی داری داشت که معادله رگرسیون آن هم به صورت ساعتی و هم به صورت ماهانه در جدول ۲ و ۳ آورده شده است. برای مثال در ساعت ۰۰:۰۰ به ازای یک واحد تغییر در ارتفاع (افزایش ارتفاع) به میزان ۰۰۰۱۹- میلی متر در آب قابل بارش تغییر (کاهش) ایجاد می شود. یا به عبارت دیگر در ساعت ۱۲:۰۰ به ازای یک واحد افزایش در ارتفاع به میزان ۰۰۰۲۲- میلی متر آب قابل بارش کاهش پیدا می کند. در مجموع می توان گفت که به ازای یک واحد تغییر در ارتفاع ۰۰۰۲- میلی متر تغییر در آب قابل بارش ایجاد می شود. همان طوری که مشاهده می شود رابطه آب قابل بارش با ارتفاع هم در مقیاس ساعتی و هم در مقیاس ماهانه در سطح ۹۵ و ۹۹ درصد رابطه معکوس معنی داری وجود دارد. رابطه آب قابل بارش با عرض جغرافیایی هرچند مستقیم می باشد اما بسیار

## بررسی نقش عوامل مکانی بر توزیع - پراکندگی بیشینه های آب قابل بارش ...

ناچیز و غیر معنادار است. این روابط برای هر یک از ماهها محاسبه و در جدول ۲ ارائه شده است.

جدول (۲) رابطه بیشینه آب قابل ساعتی با ارتفاع، طول و عرض جغرافیایی

ساعت <sup>۱</sup>	ارتفاع* <sup>۱</sup>	ضریب	معادله رگرسیون ارتفاع و آب قابل عرض	آب قابل بارش	تعیین	
					جغرافیایی <sup>**</sup>	جغرافیایی <sup>**</sup>
/۱۴	/۱۱۵		$Y = -.0019X + 14.083$	۳۴/۹۲	-/۵۹۱	۰۰:۰۰
/۰۴	/۱۲۹		$Y = -.0021X + 14.396$	۳۰/۵۸	-/۵۵۳	۰۶:۰۰
-/۰۵۱	/۱۳۴		$Y = -.0022X + 14.662$	۲۶/۱۱	-/۵۱۱	۱۲:۰۰
/۰۷۱	/۰۵۶		$Y = -.0018X + 14.447$	۳۴/۲۲	-/۵۸۵	۱۸:۰۰
/۰۴۵	/۱۱۲		$Y = -.0023X + 14.397$	۳۱/۵۸	-/۵۶۲	کل
						دوره

جدول (۳) رابطه بیشینه آب قابل بارش ماهانه با ارتفاع، طول و عرض جغرافیایی

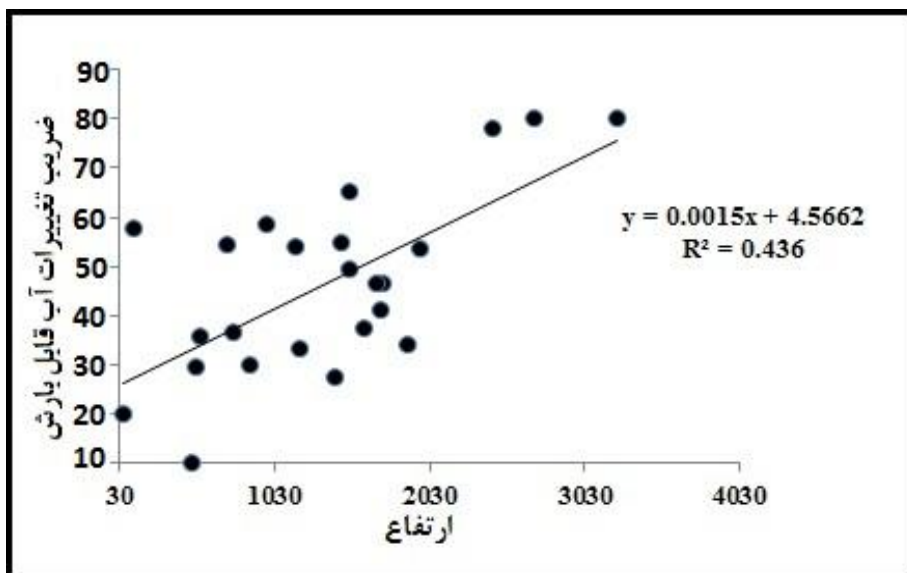
ماه	ارتفاع*	ضریب	معادله رگرسیون ارتفاع و آب قابل طول	عرض جغرافیایی <sup>**</sup>	بارش عیین	تعیین
فروردین	/۱۸۲	/۰۹۹	$Y = -.0021X + 14.202$	۳۲/۷۱	-/۵۷۲	
اردیبهشت	/۰۳۵	/۲۰۶	$Y = -.0018X + 16.056$	۲۵	-/۵	
خرداد	/۰۲	/۱۸	$Y = -.0019X + 16.397$	۲۲/۴۶	-/۴۷۴	
تیر	/۰۴۲	/۱۲۹	$Y = -.0023X + 18.444$	۲۴/۰۱	-/۴۹	
مرداد	-/۰۶۱	/۰۸	$Y = -.0021X + 18.442$	۲۴/۹	-/۴۹۹	
شهریور	-/۱۱۷	/۱۱۸	$Y = -.0022X + 15.093$	۲۴/۴	-/۴۹۴	
مهر	-/۰۱۵	۱۹۲	$Y = -.0018X + 14.276$	۲۲/۶۵	-/۴۷۶	
آبان	-/۰۷	/۱۶۴	$Y = -.0019X + 13.495$	۲۸/۱۹	-/۵۳۱	
آذر	/۰۳۴	/۰۸۶	$Y = -.0018X + 14.276$	۳۱/۲۴	-/۵۵۹	
دی	/۰۹۹	/۰۲	$Y = -.0017X + 11.539$	۳۱/۵۸	-/۵۶۲	
بهمن	/۲۰۴	-/۰۲۵	$Y = -.0018X + 10.453$	۳۱/۸۰	-/۵۶۴	
اسفند	/۲۴	-/۰۱۷	$Y = -.0019X + 12.034$	۳۴/۲۲	-/۵۸۵	

<sup>۱</sup>\*این علامت بیانگر این است که آب قابل بارش در سطح ۹۵ و ۹۹ درصد به لحاظ آماری معنی دار می باشد. \*\* بیانگر عدم معنی داری می باشد.

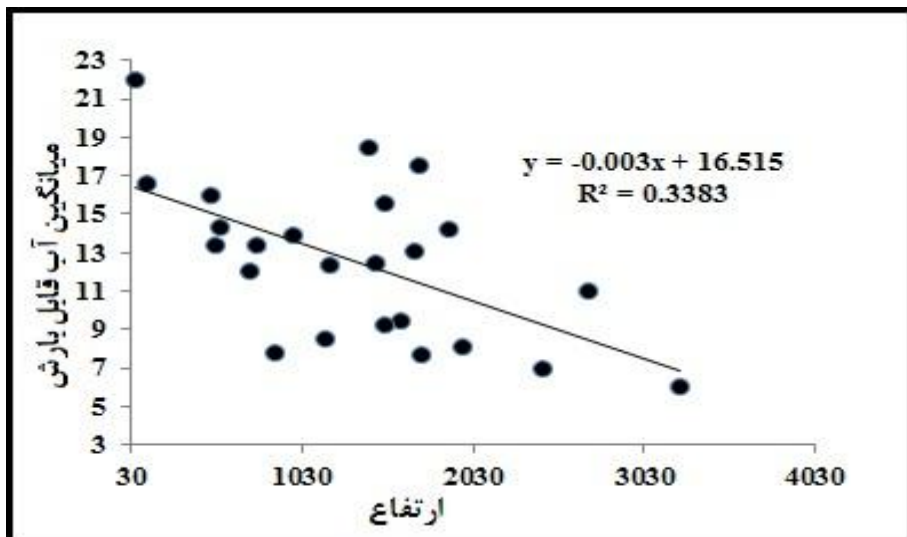
در هیچ‌کدام از ماهها رابطه عرض جغرافیایی و طول جغرافیایی با آب قابل بارش معنادار نبوده است. این در حالی می‌باشد که بنا به گفته بسیاری از دانشمندان با افزایش عرض جغرافیا آب قابل بارش کاهش پیدا می‌کند. این در حالی می‌باشد که این نظریه در محدوده ایران قابل انطباق نیست. برای مثال مشاهده می‌شود که میانگین آب قابل بارش در شمال غرب کشور با نواحی مرکزی با وجود اینکه در عرض‌های پایین تری قرار دارد برابر می‌کند. این واقعیت شاید به دلیل قرارگیری دریای خزر در قسمت‌های شمال ایران و نقش آن در تغذیه رطوبتی مناطق اطراف باشد. رابطه آب قابل بارش با ارتفاع در تمام ماهها تقریباً یکسان و بین ۵/۰ تا ۶/۰ در تغییر می‌باشد.

در بررسی رابطه میان دو متغیر، نخستین گام منطقی، ترسیم داده‌ها به صورت نقاطی در یک دستگاه مختصات متعامد می‌باشد. نمودار حاصله از این دستگاه به نمودار پراکنش نگار معروف است. کشف رابطه بین متغیرها و چگونگی تاثیر پذیری آنها از یکدیگر یکی از اهداف این مدل می‌باشد. به طوری که متغیر بودن این عوامل باعث تغییر عامل وابسته می‌شود. با اطلاع از رابطه بین متغیر وابسته و متغیر مستقل، می‌توان از این رابطه و مدل به منظور استباط در مورد چگونگی تاثیر گذاری متغیرهای مستقل و مقایسه عملکرد این متغیرها بر روی متغیر وابسته و همچنین پیش‌بینی متغیر وابسته با معلوم بودن مقادیر متغیرهای مستقل استفاده کرد. که برای این منظور می‌توان از خط برازش یافته رگرسیون استفاده کرد. شکل ۲ و ۳ رابطه ارتفاع با ضریب تغییرات بیشینه آب قابل بارش را نشان می‌دهد. همان‌طوری که مشاهده می‌شود رابطه میانگین آب قابل بارش با ارتفاع رابطه معکوسی می‌باشد یعنی با افزایش ارتفاع از میانگین آب قابل بارش کاسته می‌شود، این در حالی می‌باشد که این رابطه با ضریب تغییرات مستقیم می‌باشد یعنی با افزایش ارتفاع ضریب تغییرات افزایش و با کاهش ارتفاع ضریب تغییرات کاهش پیدا می‌کند.

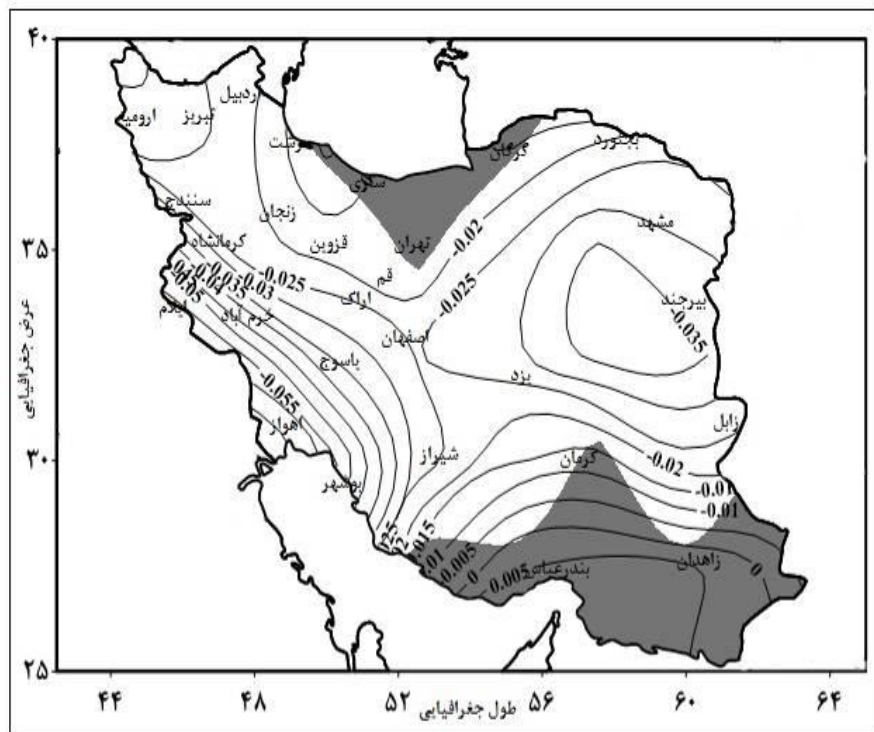
شکل ۶ روند تغییرات شب آب قابل بارش جو ایران را نشان می‌دهد. بیشترین روند کاهشی شب تغییرات آب قابل بارش با ۰۶/- میلیمتر در سال به صورت کمانی از جنوب غرب تا بخش‌های شمالی سواحل خلیج فارس کشیده شده است. همان‌طوری که مشاهده می‌شود با وجود اینکه نواحی جنوب شرق از روند شب افزایشی برخوردار بوده است اما به لحاظ آماری معنی‌دار نبوده است. بیشتر مساحت کشور از روند شب تغییراتی بین ۱۳/۰ تا ۵۴/۰ میلیمتر در سال برخوردار بوده است. همان‌طوری که هم اشاره شده کمتر از ۱۰ درصد از مساحت کشور «عمدها سواحل دریایی عمان» از روند شب تغییرات آب قابل بارش برخوردار بوده است (جدول ۱).



شکل (۴) نمودار خط رگرسیون بین ارتفاع و ضریب تغییرات بیشینه آب قابل بارش



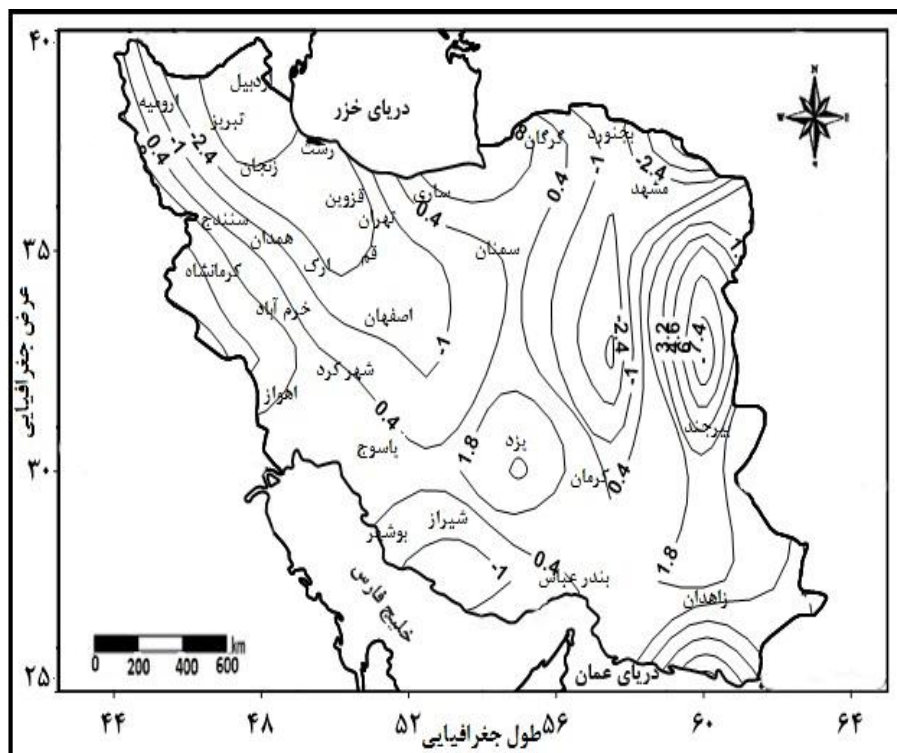
شکل (۵) نمودار خط رگرسیون بین ارتفاع و میانگین بیشینه آب قابل بارش



شکل (۶) توزیع مکانی ب روند شب تغییرات یشینه آب قابل بارش

همان طوری که اشاره شد بیشتر نواحی جنوبی و جنوب شرق کشور با روند افزایشی قابل توجهی مواجه بوده است این وضعیت را می‌توان به نقش بخارآب خلیج بنگال و کم‌فشار موسمی هند در تغذیه رطوبتی این منطقه نسبت داد. در زمینه تغذیه رطوبتی جنوب شرق به‌وسیله کم‌فشار موسمی می‌توان به مطالعه "مفیدی" اشاره کرد وی به بررسی همدیدی تأثیر سامانه‌های کم‌فشار موسمی در وقوع بارش‌های سیل‌زا در ایران پرداخته و منابع رطوبتی به‌وسیله این سامانه را تعیین نموده است (مفیدی ۱۳۸۴: ۱۱۳). با توجه به خصوصیات ترمودینامیکی حاکم بر این سامانه و پتانسیل رطوبتی این سامانه در شرایط سینوپتیکی خاص، بارش‌های فراغیر و قابل ملاحظه‌ای در کشور ایجاد می‌کند (لشکری ۱۳۸۰: ۱-۱۸). در این زمینه مطالعه علیجانی و همکاران تاییدی بر گفته فوق است به طوری که وی در تحلیل همدیدی الگوهای گردشی بارش‌های موسمی به این نتایج دست یافتند که وردهای ماهانه و سال‌به‌سال بارش‌های تابستانه جنوب شرق ایران با تغییرات شدت موسمی جنوب آسیا به‌ویژه با فراوانی وقوع کم‌فشارهای موسمی در منطقه دریای عرب ارتباط بسیار نزدیکی

دارد (علیجانی و همکاران ۱۳۸۶: ۳۶-۸). به منظور اینکه تحلیل دقیق تری نسبت به بیشنه های آب قابل بار ایران بدست بیاید شیب تغییرات بیشنه های آب قابل بارش مورد بررسی قرار گرفت که نتایج آن در شکل ۷ آورده شده است. برای این منظور شیب تغییرات آب قابل بارش هر ایستگاه را در راستای نصف النهاری و مداری نسبت ایستگاه همسایه خود محاسبه و بر فاصله طولی و عرض دو ایستگاه تقسیم شد. درصورتی که شیب تغییرات در امتداد مدارات و نصف النهارات بزرگتر از صفر باشد شیب تغییرات مثبت و درصورتی که کمتر از صفر باشد شیب تغییرات منفی خواهد بود.



شکل (۷) توزیع مکانی بیشینه شیب تغییرات آب قابل بارش طی دوره ۱۳۴۰- ۱۳۹۰ ( $\times 10^{-3}$ )

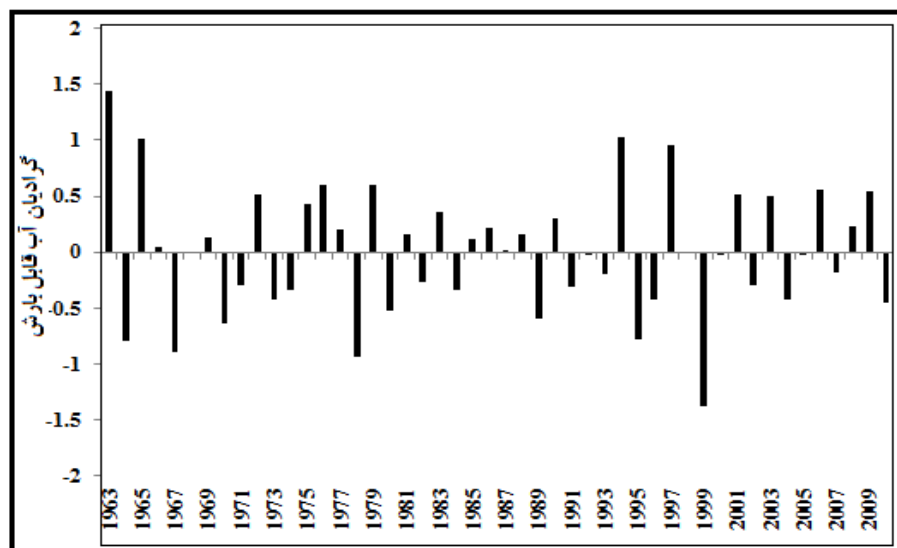
مطابق این شکل بیشترین شیب تغییرات کاهشی آب قابل بارش در بخش های از بیرجند و خراسان جنوبی رخ داده است. همان طوری که مشاهده می شود در بخش هایی جنوب شرق، بخش های از نواحی مرکزی و بخش هایی از سواحل دریای خزر آب قابل بارش دارای شیب

تغییرات مثبت و بخش‌هایی از شمال غرب کشور، شمال شرق کشور از شیب تغییرات منفی برخوردار می‌باشد (شکل ۵). با این وجود بیشتر مساحت کشور دارای شیبی بین  $1/72$  تا  $1/72$ - میلیمتر می‌باشد. کمترین شیب تغییرات آب قابل بارش بین  $7/71$  تا  $5/35$  می‌باشد (جدول ۴).

جدول (۴) طبقات شیب و روند شیب تغییرات آب قابل بارش جو ایران زمین

طبقات شیب تغییرات آب قابل بارش جو ایران به میلیمتر		طبقات روند بیشینه‌های آب قابل بارش جو ایران به میلیمتر	
مساحت (به درصد)	روند	مساحت (به درصد)	گرادیان
۱۱/۹	-۴/۰۸ تا -۱/۷۲	۸/۳	-/-۰۶۳۷ تا -۰۴۹۶
۳۶/۳	-۱/۷۲ تا ۶/۳۵	۱۲/۵	-/-۰۴۹۰ تا -۰۳۵۴
۳۲/۳	/۶۳۵ تا ۲/۹۹	۴۵/۸	-/-۰۳۵۴ تا -۰۲۱۳
۱۶/۱	۲/۹۹ تا ۵/۳۵	۲۰/۸	-/-۰۲۱۸ تا -۰۰۰۷
۴/۲	۵/۳۵ تا ۷/۷۱	۱۲/۵	-/-۰۰۷ تا -۰۰۶۸

شکل ۸ تغییرات شیب آب قابل بارش سالانه جو ایران را نشان می‌دهد. مطابق این شکل تقریباً در ۱۳ درصد از این سالها شیب تغییرات آب قابل بارش حالت ایستایی داشته است، یا به عبارتی نسبت به سال قبل خود گرادیان شیب تغییراتی صفر را تجربه کرده است.

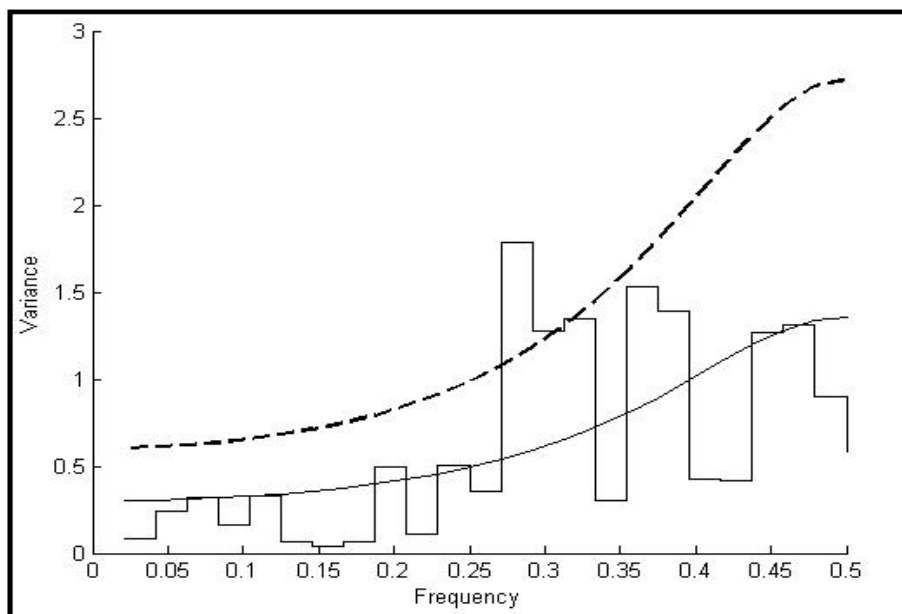


شکل (۸) شیب تغییرات آب قابل بارش سالانه طی دوره مورد مطالعه  $(10^۴)$

با این وجود تنها در ۴۰ درصد از سالها گرادیان آب قابل بارش مثبت بوده است. در این بین بیشترین شبیه تغییرات مثبت با ۱/۸ مربوط به سالهای ۱۳۳۷ و ۱۳۴۳ می باشد. تقریباً نیمی از سالهای مورد بررسی آب قابل بارش دارای گرادیان منفی بوده است. شدیدترین گرادیان منفی با ۱/۵ در سال ۱۳۸۰ رخ داده است. بهمنظور بررسی نوسانات و چرخه های حاکم بر بیشینه های آب قابل بارش جو ایران از تحلیل طیفی بهره گرفته شده است. روش های تحلیل طیفی، تقسیم بندی تغییرپذیری در سری های زمانی به اجزاء یا بخش های حاوی دوره های مختلف یا فرکانس است که به عنوان یکی از روش های استخراج و تحلیل نوسانات آشکار و نهان با طول موج های مختلف، مطرح می باشد. بهمنظور درک شهودی این رویه در شکل (۹) دوره نگار، طیف و فاصله اطمینان برای سری های زمانی فشار بخار آب سالانه جو ایران برای دوره های مختلف ارائه شده است. دوره نگار نموداری است که در آن محور عمودی برآورد طیف (واریانس) و محور افقی بسامد (احتمال، فراوانی) چرخه ها را نشان می دهد. خط شکسته طیف (میزان واریانس) به ازای بسامد (زمان) های مختلف را ارائه می نماید. همچنین این خطوط شکسته مستطیلی شکل شماره چرخه ها (هم سازها) را نشان می دهند. شبیه تغییرات آب قابل بارش سالانه در شماره چرخه های ۱۳، ۱۴، ۱۵ دارای چرخه ۲ تا ۴ ساله را تجربه کرده است. احتمال وقوع هر کدام از این چرخه ها به ترتیب ۰/۲۹۱۷، ۰/۲۷۰۸ و ۰/۳۱۲۵ با مقدار واریانس ۰/۷۸۴، ۰/۲۷۸ و ۰/۳۴۹ می باشد. همان طوری که در شکل ۸ مشاهده می شود چرخه های حاکم بر تغییرات شبیه آب قابل بارش جو ایران کوتاه مدت می باشد. لانا و همکاران چرخه های ۰/۶ و ۰/۱ ساله بارش در شمال شرق اسپانیا را به تغییرات دو سالانه (QBO) و چرخه های ۰/۵ و ۰/۹ ساله را به نوسانات اطلس شمالی NAO نسبت داده اند (لانا<sup>۱</sup> و همکاران ۲۰۰۵، ۱۹۸-۱۸۳).

---

<sup>۱</sup> -Iana



شکل (۹) دوره نگار، طیف و وز معنی داری سری زمانی بیشینه آب قابل بارش

### نتیجه گیری

رطوبت یکی از مهمترین عوامل موثر بر رخداد بارش می‌باشد؛ آگاهی از میزان رطوبت سالانه، فصلی، ماهانه و توزیع مکانی آن یک نمای کلی از قابلیتها و محدودیتهای اقلیمی مناطق مختلف را نشان می‌دهد؛ بنابراین تغییراتی که در مقدار و توزیع آن ایجاد می‌شود از مهمترین عامل موثر در ایجاد شرایط مختلف آب و هوایی می‌باشد. با بررسی نواحی رطوبتی ایران می‌توان پتانسیل‌های منابع آبی کشور را شناسایی کرد و به دنبال آن متغیرهای وابسته به بارش آسان تر خواهد شد. شناخت این تغییرات می‌تواند در برآورد پیش‌بینی میزان باران یک منطقه، میزان سرریز سدها و همچنین پیش‌بینی وقوع سیلابها و باروری ابرها مفید می‌باشد. در این مطالعه بهمنظور بررسی تأثیر عوامل محلی بر توزیع آب قابل بارش جو ایران داده‌های فشار و رطوبت ویژه را از پایگاه داده NCP/NCAR استخراج گردیده است. نتایج حاصل از این مطالعه نشان میدهد که ضریب تغییرپذیری مکانی آب قابل بارش در محدوده اقلیمی ایران زیاد و به شدت تحت تأثیر ارتفاعات و دوری و نزدیکی به دریا می‌باشد؛ بهطوری که بیشترین ضریب تغییرات آب قابل بارش در ارتفاعات بهویژه در امتداد کوههای زاگرس می‌باشد. کمترین میزان تغییرپذیری مربوط به نواحی مرکزی و سواحل دریای خزر و خلیج فارس می‌باشد. با این وجود در

بین عوامل مکانی توپوگرافی و ناهمواری ها بیشترین تأثیر را در توزیع آب قابل بارش جو ایران زمین داشته است. همچنین نتایج نشان داده که توزیع آب قابل بارش در نواحی جنوب شرق علاوه بر متأثر بودن از دریا و ارتفاعات نقش عواملی بیرونی بهویژه کم‌فشار موسمی در افزایش آب قابل بارش این منطقه دخالت دارد.

نتایج حاصل از شبیه تغییرات آب قابل بارش بیانگر این است که اکثر نواحی ایران بهویژه شرق کشور از شبیه تغییرات کاهشی برخوردار بوده است با این وجود شدیدترین روند کاهشی شبیه تغییرات آب قابل بارش در غرب و جنوب غرب کشور بهویژه ارتفاعات رخ داده است. بیشتر مساحت کشور دارای شبیبی بین ۱/۷۲ تا ۶۳۵ میلی‌متر می‌باشد. نتایج حاصل از تحلیل چرخه‌های نشان داد که بیشینه‌های آب قابل بارش جو ایران دارای چرخه‌های کوتاه‌مدت ۲-۴ ساله بوده است. بیشتر دانشمندان چرخه‌ها ۲ و ۳ ساله را با ال نینو - نوسانات جنوبی و گردش عمومی جو و جریانات مداری مرتبط می‌دانند.

## منابع و مأخذ

- ۱- آذر، عادل و منصور مؤمنی (۱۳۸۷). آمار و کاربرد آن در مدیریت، جلد دوم (ب)، انتشارات سمت.
- ۲- شریعت مداری، زهرا (۱۳۹۱). هواشناسی عمومی، انتشارات پارسیا، چاپ اول.
- ۳- عساکر، حسین (۱۳۸۶). بررسی آماری روند دمای سالانه تبریز، اندیشه جغرافیایی، شماره ۱.
- ۴- عساکر، حسین، و دوستکامیان، مهدی و قائمی، هوشنگ (۱۳۹۴). تحلیل چرخه‌ها و ناهنجاری‌های آب قابل بارش جو ایران طی نیم قرن اخیر، مجله پژوهش‌های جغرافیای دانشگاه تهران، صص ۴۳۵-۴۴۴.
- ۵- علیزاده، امین (۱۳۹۰). اصول هیدرولوژی کاربردی، انتشارات دانشگاه فردوسی، چاپ سی‌ام.
- ۶- علیجانی و همکاران (۱۳۸۶). تحلیل همدیدی الگوهای گردشی بارش‌های موسمی جولای ۱۹۹۸، نشریه علوم جغرافیایی ایران، شماره ۱۰، صص ۳۶-۸.
- ۷- فلاح قاله‌ری، غلام عباس (۱۳۹۰). اصول و مبانی هواشناسی، انتشارات پژوهشکده اقلیم‌شناسی، چاپ اول ۱۳۹۰.
- ۸- لشکری، حسن (۱۳۸۱). مکانسیم تکوین، تقویت و توسعه مرکز کم‌فشار سودان و نقش آن بر روی بارش‌های جنوب و جنوب غرب ایران، پژوهش‌های جغرافیایی، شماره ۴۶، ص ۱-۱۸.

- ۹- مباشری، محمدرضا و پورباقرکردی، سید مهدی و فرج زاده اصل، منوچهر و صادقی نائینی، علی (۱۳۸۹). برآورد آب قابل بارش کلی با استفاده از تصاویر ماهواره‌ای و داده‌های رادیوساوند: ناحیه تهران، فصلنامه مدرس علوم انسانی، شماره ۱، صص ۱۰۷-۱۲۶.
- ۱۰- مسعودیان، سید ابوالفضل (۱۳۹۰). آب هوای ایران، انتشارات شریعه توسعه مشهد-دانشگاه اصفهان.
- ۱۱- مسعودیان، سید ابوالفضل و عساکره، حسین و محمدی، بختیار و حلیمان، امیرحسین (۱۳۹۱). نمایش و پردازش داده‌های جوی، انتشارات دانشگاه اصفهان.
- ۱۲- مفیدی، عباس، (۱۳۸۴). بررسی همدیدی تأثیر سامانه‌های کم‌فشار سودانی در وقوع بارش‌های سیل‌زا در ایران، فصلنامه تحقیقات جغرافیایی، شماره ۷۷ ، صص ۱۱۳-۱۳۶
- Adiyamay, (2009). *Empirical Modeling of Layered Integrated Water Vapor Using Surface Mixing Ratio in Nigeria*, journal of applied metrological and climatological, vol 48, pp. 369 – 380.

Dai A, Trenberth KE. (2004). *the diurnal cycle and its depiction in the Community Climate System Model*. Journal of Climate, vol, 17(5): PP, 930–951.

Johan D. karalis, (1974). *Perceptible Water and its relationship to surface Dew point and vapor pressure in Athens*, Journal of applied meteorology, N 13, 760-766

Lana, M. D. Martinez, C. Serra, and A. Burguen, (2005). “*Periodicities and irregularities of indices describing the daily pluviometric regime of the Fabre Observatory (NE Spain) for the years 1917–1999*” Theory. Application .Climatological. Vol, vol, 82, PP. 183–198.

Parameswaran K. and Krishna Murthy B. V., (1990). *Altitude profiles of tropospheric water vapor at low latitudes*. J. App. Meteoric. Vol 29, 665-679.

Stanton E.Tuller, (1968). *World distribution of mean monthly and annual perceptible water*, monthly weather review E. Tulle, Vol. 96, and pp.785-797.